

III-91 桁のネガティブフリクションに関する検討

大阪大学工学部 正員 伊藤 篤雄

同 同 ○松井 保

同 大学院 学生員 金井 誠

1. まえがき

杭のネガティブフリクションに関して未解決の問題が多く存在する。杭に作用するネガティブフリクションの算定法は現在種々提案されているが、定量的には十分解明されたとは言い難い。また群杭に関しては、実際に杭基礎として用いられるのはほとんど群杭であるにもかかわらず、定性的なメカニズムも解明されていない現状である。本報告においては、単杭および群杭のネガティブフリクションに関する模型実験を行いネガティブフリクションの発生機構を検討するとともに、単杭のネガティブフリクションの解析に有限要素法を適用する方法について検討したので、その結果を報告する。

2. 模型実験による検討

実験方法の既略はすでに報告書¹⁾であるので詳細は省略するが、外径D=38mmの模型鋼管杭を用い、初期粘土層厚40cm、初期含水比171%である。群杭は5本の杭からなり、杭中心間隔(L)を4通りに変化させ、単杭は2本につき測定する。また前回の実験では单杭より群杭の方に大きなネガティブフリクション(以下N.F.と略す)が発生したが、この原因の一つに杭周面からの排水が考えられたので、測定杭の半分は排水層近くの杭周面にグリースを塗布して杭周面からの直接排水を防ぎ、杭周面からの排水効果を検討する。N.F.は杭下端で容量10kgのロードセルで測定する。

N.F.の経時変化をFig.1に示す。まず群杭の排水効果については、杭周面からの排水を許した場合(S.P.I, P.G.I, P.G.II, 図中の●印)の単杭と群杭のN.F.を比較すると、約80日までは单杭の方が小さく、それ以後は单杭の方が大きくなる。一方杭周面からの排水を許さない場合(S.P.II, P.G.III, P.G.IV, 図中の○印)には、单杭および群杭のN.F.が約80日まではほぼ同様に増加し、以後单杭の方が大きくなる。以上の現象から判断すれば、杭周面からの排水効果が認められ、杭周面より排水ができる場合には杭周地盤の強度増加が促進され、とくに单杭より群杭周辺で顕著である。しかし、最終的には单杭のN.F.が群杭のそれより大きくなる。つぎにS.P.IとS.P.IIのN.F.を比較すると、約95日まではS.P.IがS.P.IIよりも大きい。これもまた前述の杭周面からの排水効果で説明できる。しかしS.P.IIにおいて95日以後再度にわたってN.F.が急激に減少しその後漸増している。この現象はP.G.IIIにおいて認められる。この原因としては杭周地盤の局部せん断破壊現象ではないかと考えられ、たとえば微小な振動などがその誘因ではないだろうか。さらにP.G.IIおよびP.G.IVに見られるように一度ピーカーに達したN.F.が徐々に減少しある値に落ち着くようす現象が見られるが、これは応力緩和現象と考えられる。

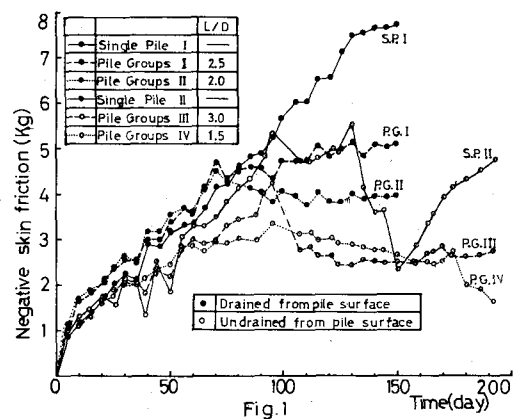


Fig. 2 に群杭と単杭の N.F. の比入 ($=N_{f2}/N_{fs}$) の経時変化を示したものであるが、S.P. II については 95 日以後局部せん断破壊したと考えられるので、それ以後は S.P. I のデータを代用した。Fig. 2 より、初期において杭周面排水の場合入 > 1、杭周面非排水の場合多少変動があるが入 = 1 となり、杭の周面排水効果による周辺地盤の圧密が促進されていることは明確である。

Fig. 3 に L/D をパラメータとして最終状態および N.F. のピーク時の入の変化を示す。また単杭と群杭の境界は実測値より $L = 16$ cm と考えられ、Fig. 3 にはこの値もプロットしてみる。したがって $L/D = 3.0$ すなわち P.G. III の場合は前述のごとく局部せん断破壊を起こしているので除外すると、Fig. 3(a) 曲線で示されるように杭間隔が小さくなるほど杭 1 本当たりの N.F. が大巾に減少することが分かる。

3. ネガティブフリクション解析への有限要素法の適用

杭周辺粘土層の圧密終了時、単杭に作用する N.F. の算定に有限要素法を適用する際につぎの仮定を設ける。1) 杭は剛体のとし、かつ先端沈下を許さない。2) 粘土層は等質等方性とし、応力 - ひずみ関係は Fig. 4(a) に示すごとき弾塑性体と仮定する。また圧密終了状態を考えて $K_0 \approx 0.5$ 、すなわちボアン比を $\nu = 1/3$ とする。4) 杭周辺の表面沈下量を既知とする。5) 前述の模型実験の単杭を想定して Fig. 4(b) のごときモデル粘土層を考え、粘土層底面および杭表面で変位が拘束され、側方端部および地表面では水平変位がないとする。以上との仮定のもとに軸対称問題として step by step 法で計算を行なったが、その際表面沈下量は Fig. 4(b) に示すごとき断面模型による実測値を、応力 - ひずみ関係は粘土層が軟弱なためベースせん断試験によりせん断強度およびせん断弾性係数を全層の平均値として求め、

それぞれ $C = 20 \text{ g/cm}^2$, $G = 600 \text{ g/cm}^2$ を用いた。杭に接する要素の鉛直方向のせん断力が杭に作用する N.F. と考え、N.F. 分布を図示したのが Fig. 4(c) の実線である。この結果、ほとんどの部分で最大のフリクションが発生しているが、これは表面沈下量が十分大きいために生じたものと考えられる。試みに表面沈下量を実測値の $1/20$ として N.F. を計算すると Fig. 4(c) の破線のごとくなり、より小さな N.F. が生ずるようになる。以上の実線のごとく算定された全 N.F. と前述の実測値を比較すると、それぞれ 7.17 kg と 7.75 kg となりほぼ一致している。

以上、計算を簡単にするために種々の仮定を設けたが、今後はこれらの仮定をより現実に近いものにして計算し、さらに検討を加えて行きたい。おおこの計算には京大および阪大の大型計算機を使用したことと付記する。

参考文献 1) 伊藤・松井・平井「群杭のネガティブフリクションに関する実験的研究」第 25 回土木学会年次講演会概要 (1970)
2) O.C.Zienkiewicz, Y.K.Cheung 「The Finite Element Method in Structural and Continuum Mechanics」 (1967) 吉誠訳

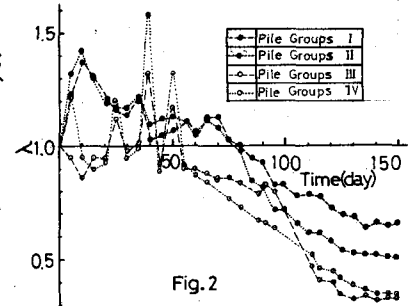


Fig. 2

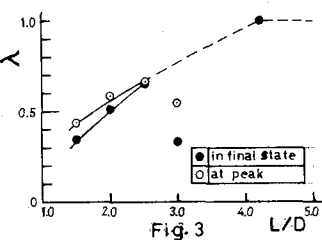


Fig. 3

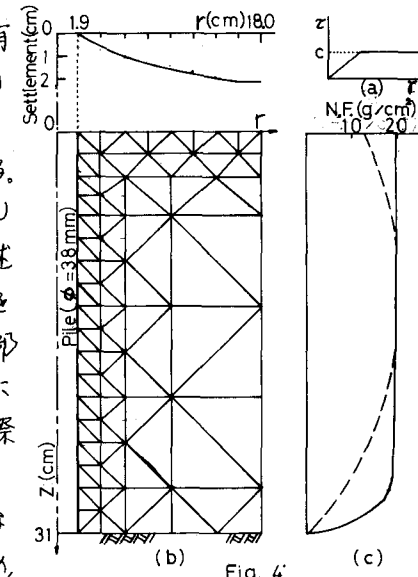


Fig. 4